

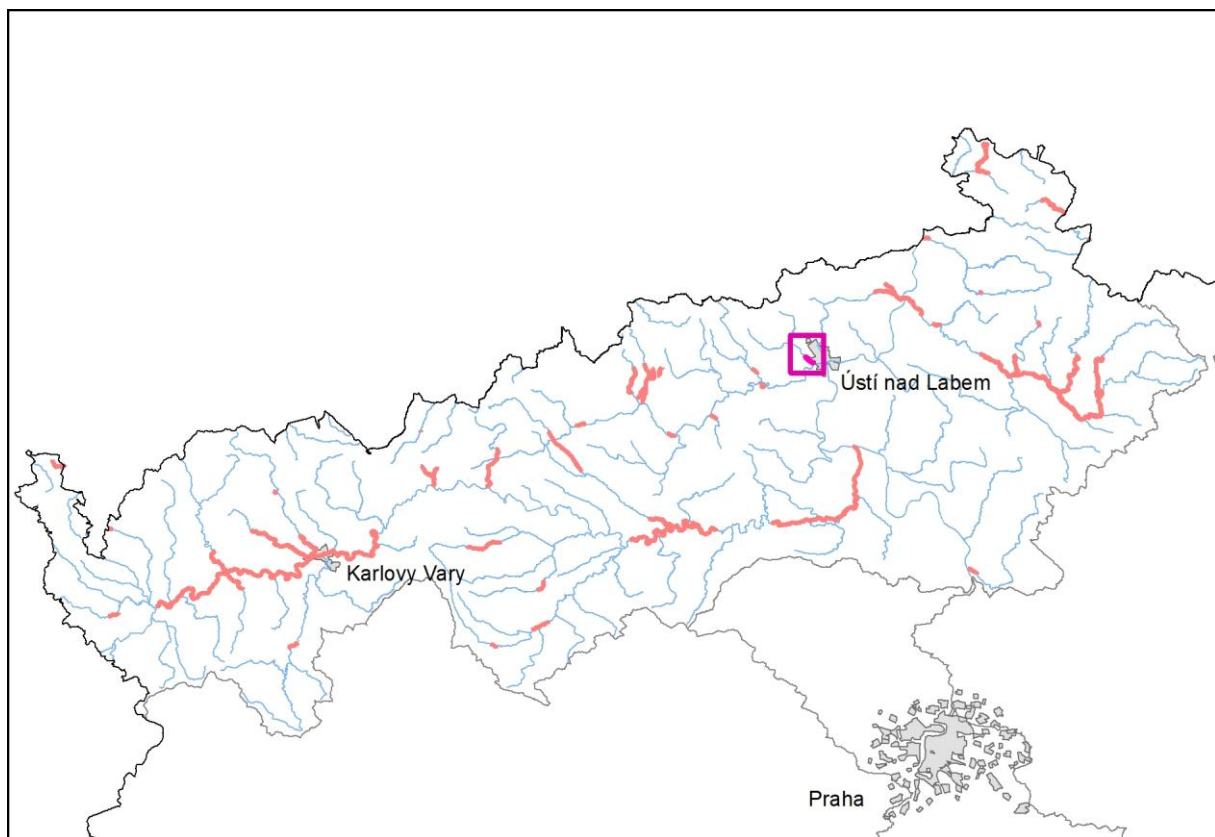


ZPRACOVÁNÍ MAP POVODŇOVÉHO NEBEZPEČÍ A POVODŇOVÝCH RIZIK PRO OBLAST POVODÍ OHŘE A DOLNÍHO LABE

DÍLČÍ POVODÍ OHŘE, DOLNÍHO LABE A OSTATNÍCH PŘÍTOKŮ LABE

B. TECHNICKÁ ZPRÁVA – HYDRODYNAMICKÉ MODELY A MAPY POVODŇOVÉHO NEBEZPEČÍ

ŽDÍRNICKÝ POTOK – 10100528_1 - Ř. KM 0,000 – 1,900



listopad 2013



ZPRACOVÁNÍ MAP POVODŇOVÉHO NEBEZPEČÍ A POVODŇOVÝCH RIZIK PRO OBLAST POVODÍ OHŘE A DOLNÍHO LABE

DÍLČÍ POVODÍ OHŘE, DOLNÍHO LABE A OSTATNÍCH PŘÍTOKŮ LABE

B. TECHNICKÁ ZPRÁVA – HYDRODYNAMICKÉ MODELY A MAPY POVODŇOVÉHO NEBEZPEČÍ

ŽDÍRNICKÝ POTOK – 10100528_1 - Ř. KM 0,000 – 1,900

Pořizovatel:



Povodí Ohře, státní podnik
Bezručova 4219
Chomutov
430 03

Zhotovitel: sdružení „HYDROPROJEKT + Hydrosoft + AZ Consult“



Sweco Hydroprojekt a.s.
Táborská 31
Praha 4
140 16



HYDROSOFT Veleslavín s.r.o.
U Sadu 13/62
Praha 6
162 00



AZ Consult, spol. s r.o.
Klíšská 12
Ústí nad Labem
400 01



OPERAČNÍ PROGRAM
ŽIVOTNÍ PROSTŘEDÍ



EVROPSKÁ UNIE
Fond soudržnosti

Pro vodu,
vzduch a přírodu

Řešitel:



HYDROSOFT Veleslavín s.r.o.

U Sadu 13/62

Praha 6

162 00



Sweco Hydroprojekt a.s.

Táborská 31

Praha 4

140 16

V Praze, listopad 2013

Obsah:

1	Základní údaje	7
1.1	Seznam zkratk a symbolů	7
1.2	Cíle prací	7
1.3	Předmět práce	7
1.4	Postup zpracování a metoda řešení	7
2	Popis zájmového území	9
2.1	Všeobecné údaje	10
2.2	Průběhy historických povodní (největší zaznamenané povodně)	10
3	Přehled podkladů	11
3.1	Topologická data	11
3.1.1	Vytvoření (aktualizace) DMT	11
3.1.2	Mapové podklady	11
3.1.3	Geodetické podklady	12
3.2	Hydrologická data	12
3.2.1	Hydrologické poměry a jejich interpretace ve výpočtovém modelu	13
3.3	Místní šetření	13
3.4	Doplňující podklady – technické a provozní informace, zprávy, studie, dokumenty, literatura	14
3.5	Normy, zákony, vyhlášky	14
3.6	Vyhodnocení a příprava podkladů	14
4	Popis koncepčního modelu	15
4.1	Schematizace řešeného problému	15
4.2	Posouzení vlivu nestacionarity proudění	15
4.3	Způsob zadávání OP a PP	15
5	Popis numerického modelu	16
5.1	Použité programové vybavení	16
5.2	Vstupní data numerického modelu	16
5.2.1	Morfologie vodního toku a záplavového území	16
5.2.2	Drsnosti hlavního koryta a inundačních území	17
5.2.3	Hodnoty okrajových podmínek	17
5.2.4	Hodnoty počátečních podmínek	18
5.2.5	Diskuze k nejistotám a úplnosti vstupních dat	18
5.3	Popis kalibrace modelu	18
6	Výstupy z modelu	19
6.1	Záplavové čáry pro průtoky Q_5 , Q_{20} , Q_{100} a Q_{500}	22
6.2	Hloubky pro průtoky Q_5 , Q_{20} , Q_{100} a Q_{500}	22
6.3	Rychlosti pro průtoky Q_5 , Q_{20} , Q_{100} a Q_{500}	22
6.3.1	Bodová vrstva průměrných celoprofilových rychlostí	22

6.3.2	Plošné rozdělení rychlostí v inundaci	23
6.4	Zhodnocení nejistot ve výsledcích výpočtů	23

1 Základní údaje

1.1 Seznam zkratek a symbolů

V následující tabulce č. 1.1 jsou abecedně seřazeny všechny zkratky a symboly použité při zpracování části B, Technická zpráva – hydrodynamické modely a mapy povodňového nebezpečí.

Tab. č. 1.1 Seznam zkratek a symbolů

Zkratka	Vysvětlení
ČHMÚ	Český hydrometeorologický ústav
DMT	Digitální model terénu
DOP	Dolní okrajová podmínka
DPI	Rozlišení dané počtem bodů na jeden palec (2,5 cm)
DMR 4G	Digitální model reliéfu 4. generace
DMR 5G	Digitální model reliéfu 5. generace
GIS	Geografické informační systémy
IDVT CEVT	Identifikátor vodního toku v Centrální evidenci vodních toků
SOP	Studie odtokových poměrů
LG	Limnigraf
ZÚ	Záplavová území
ZM10	Základní mapa 1:10 000

1.2 Cíle prací

Cílem prací je vyjádření povodňového nebezpečí na základě stanovení těchto charakteristik průběhu povodně:

- hranice rozlivů,
- hloubky vody v záplavovém území,
- rychlosti proudění vody v záplavovém území.

Podstatou vyjádření povodňového nebezpečí je určení prostorového rozdělení uvedených charakteristik povodně a zpracování těchto údajů do podoby tzv. map povodňového nebezpečí. Ty slouží v dalším kroku jako podklad pro vyjádření povodňového rizika semikvantitativní metodou uvedenou v „Metodice tvorby map povodňového nebezpečí a povodňových rizik“.

1.3 Předmět práce

Předmět práce zahrnuje tyto činnosti:

- popis postupů souvisejících se zajištěním vstupních podkladů – stávající + nové (dodatečné zaměření profilů, objektů atd.),
- sestavení (aktualizace) hydrodynamických modelů a příslušné simulace,
- zpracování výsledků numerického modelování a vytvoření map povodňového nebezpečí (mapy rozlivů, hloubek a rychlostí).

1.4 Postup zpracování a metoda řešení

Výchozím podkladem pro zpracování studie byla data ze „Studie záplavového území toku Ždírnický potok v ř. km 0,000 – 1,724 a 5,756 - 8,107“ provedené v listopadu 2000 společností Hydrossoft Veleslavin s.r.o.

Po prostudování poskytnutých dat byl proveden terénní průzkum s cílem zjistit, zda geodetické zaměření je dostatečné nebo bude třeba provést dodatečné zaměření. V průběhu terénního průzkumu byla pořízena nová fotodokumentace.

Na základě místního šetření bylo shledáno, že od doby provádění studie došlo v zájmovém území k několika významným změnám v odtokových poměrech. Bylo tedy rozhodnuto o částečném geodetickém doměření.

Původní zaměření ze studie však bylo prohlášeno za dostatečně kvalitní a nebylo nutné provádět dodatečné geodetické zaměření v celém zájmovém území.

S ohledem na 5- letou platnost hydrologických dat bylo nutné v zájmovém profilu hydrologická data (průtoky n-letých vod) vydávaných ČHMÚ nechat znovu ověřit. U ověřených dat byly shledány zásadní změny průtoků, což vedlo k rozhodnutí prezentovat grafické výstupy nad aktualizovanou ZM 10. Pro výpočet byla použita původní trať ze zaměření z roku 2000 avšak s jinými okrajovými podmínkami vycházejícími ze změn průtoků v zájmovém profilu.

Hydraulické výpočty vodního toku včetně objektů a inundačního území byly provedeny pro Q_5 , Q_{20} , Q_{100} , Q_{500} . Získané výsledky byly jako bodová informace dále zpracovány pomocí nástrojů GIS nad výše zmíněným mapovým podkladem. V první řadě byly rozšířeny příčné profily tak, aby přesahovaly průběh záplavy Q_{500} , což bylo nezbytné pro tvorbu „Map hloubek“. Dále za pomoci vygenerovaných bodů z DMR 4G byly nad mapovým podkladem vyneseny průběhy záplavových čar a průběhy rychlostí. Průběhy obou typů čar byly upřesněny nad vytvořenou „Mapou hloubek“ z DMR 4G. Výsledky jsou prezentovány v podobě map povodňového nebezpečí v kapitole 6.

2 Popis zájmového území

Název vodního toku: Ždírnický potok

ID úseku IDVT CEVT: 10100528_1

Číslo hydrologického pořadí vodního toku: 1-14-01-0920-0-00 (Bílina)
1-14-01-1010-0-00 (Ždírnický potok)
1-14-01-1020-0-00 (Bílina)

Úsek vodního toku: 0,00 – 1,9 ř. km

Významná vodní díla: Velký Luční rybník

Významné přítoky: Podhořský p., Habartický p., Štolský p., Chlumský p., Telnický p.

Ždírnický potok patří mezi nejvýznamnější potoky okresu Ústí nad Labem a patří mezi největší přítoky Bíliny. Je dlouhý 14,3 km a jeho plocha povodí činí 128,8 km².

Pramení jižně od vsi Adolfov nedaleko Rudného vrchu (793 m n. m.) v nadmořské výšce 750 m. Z Krušných hor od úbočí Rudného vrchu (796 m n. m.) stéká tento potok do průmyslového Podkrušnohoří jihovýchodním směrem. Na horním úseku vodního toku se prodírá úzkým řečištěm mezi lesnatými stráněmi, které končí u Žandova. Zde se krajina otevírá.

V povodí je několik větších vodních ploch, největší je velký Luční rybník. Protéká Žandovem, Chlumcem, Chabařovicemi a ústeckou čtvrtí Předlice. Těsně před městem Ústí nad Labem ústí zleva do řeky Bíliny v nadmořské výšce 138 m a též jeden z největších přítoků Bíliny.

Podklady:

Název vodního toku - zdroj VÚV TGM, 2011

ID úseku IDVT CEVT - zdroj Ministerstvo zemědělství, 2011

Číslo hydrologického pořadí vodního toku - zdroj ČHMÚ, 2013

Úsek vodního toku - zdroj Povodí Ohře, státní podnik, 2011

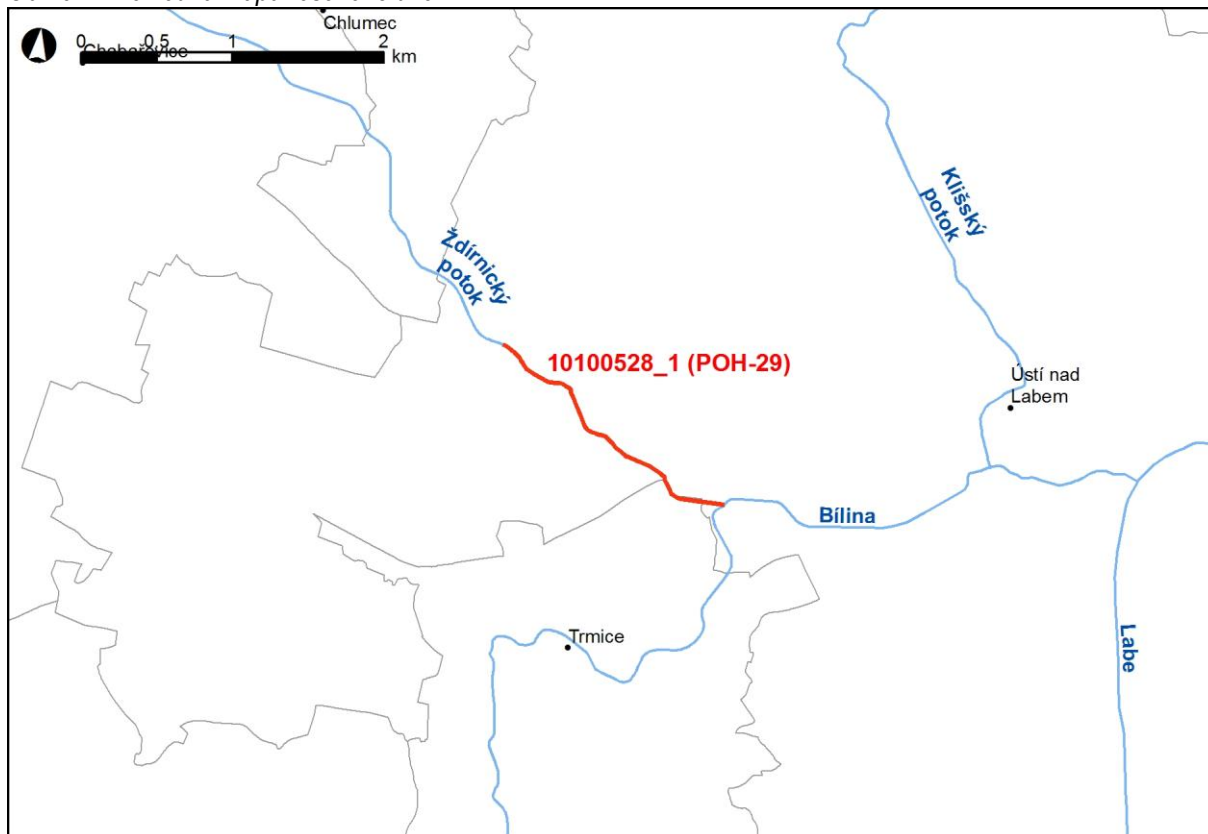
Významná vodní díla - zdroj ZM10, ČZÚK, 2012

Významné přítoky - zdroj ZM10, ČZÚK, 2012

Souhrnná technická zpráva „Studie záplavového území toku Ždírnický potok v ř. km 0,000 – 1,724 a 5,756 - 8,107“, Hydrosoft Veleslavín s.r.o., 2000

Wikipedie

Obr. č. 1 Přehledná mapa řešeného území



2.1 Všeobecné údaje

Ždírnický potok je vodní tok podhorského charakteru. V celém zájmovém území protéká zastavěným územím okraje Ústí nad Labem - Trmicemi a Předlicemi.

Koryto je převážně upravené, v místech bez úpravy břehů je alespoň stabilizovaná pata břehu. Kapacita koryta je cca Q_5 , nepřesahuje Q_{10} . Nad obcí Předlice je masivní úprava s kapacitou Q_{50} až Q_{100} .

Sklon je v celém zájmovém úseku vodního toku rovnoměrný a činí cca 0,6 %

Rychlost vody odpovídá sklonům a pohybuje se v rozmezí 0,8 m/s až 2 m/s, výjimečně překračuje 2,5 m/s.

Režim proudění ve vodním toku je v celém zájmovém úseku říční.

2.2 Průběhy historických povodní (největší zaznamenané povodně)

Zpracovatel předkládané studie prověřil informace o průběhu historických povodňových událostí. Problematika byla konzultována se správcem vodního toku. Na základě shromážděných informací lze konstatovat, že informace o průběhu povodní neexistují.

3 Přehled podkladů

V souladu s vyhláškou č. 236/2002 Sb. byly použity pro zpracování návrhu záplavového území tyto podklady. Pravidla pro citace podkladů se řídí dle ČSN ISO 690 (01 0197).

- Základní mapy 1 : 10 000 – digitální, rastrové – ZABAGED®, poskytlo Povodí Ohře, státní podnik, 2012
- Výškopisná data DMR 5G, copyright ČÚZK, MO ČR, MZe ČR, 2012
- Geodetické zaměření – Ždírnického potoka – příčné profily, podélný profil - Aquageo v roce 1997, InterGeos v roce 2000 a v roce 2011 doměření firma Hydrossoft Veleslavín
- Výsledky hydraulické výpočtu nerovnoměrným prouděním (program Hydrocheck), 2012
- Hydrologická data: n-leté průtoky – Ždírnického potoka ČHMÚ Ústí n. L. 25.1.2012
- Hydrologické poměry ČSSR III. díl, HMÚ Praha, 1970
- Podrobný terénní průzkum zpracovatele, uskutečněný v únoru 2011, zaměřený na zmapování stavu koryta a břehů Ždírnického potoka, se zřetelem na místní překážky a další relevantní faktory
- Zákon č. 254/2001 Sb. - o vodách
- Vyhláška MŽP 236/2002 Sb. – o způsobu a rozsahu zpracování návrhu a stanovování záplavových území
- Geomorfologie Českých zemí, Jaromír Demek a kol., AC, 1965
- Vyšší geomorfologické jednotky České republiky, Český úřad zeměměřičký a katastrální, Praha, 1996
- Metadata poskytnutá Zeměměřičským ústavem k aktuální verzi ZM 10, 2012
- Atlas podnebí ČSSR, ČHMÚ
- Wikipedie

3.1 Topologická data

Topologická data jsou základním zdrojem, který je potřebný pro sestavení hydrodynamického modelu. Pomocí nich je možné popsat řešené území, sestavit digitální model terénu a vytvořit vhodnou schematizaci modelu. Jednotlivé topologické podklady jsou popsány v následujících kapitolách.

3.1.1 Vytvoření (aktualizace) DMT

Digitální model terénu byl sestaven z Digitálního modelu reliéfu České republiky 5. generace DMR 5G - LSS od ČÚZK a pro zpřesnění oblasti koryta byly použity 3D terénní hrany břehů a hladiny, které zpracovala společnost GEODIS BRNO, spol. s r.o. Sestavení DMT proběhlo v softwaru společnosti ESRI v ArcGIS pomocí extenze 3D Analyst. DMT byl vygenerován ve formátu ESRI tin, který se převedl do formátu georeferencovaný tif s velikostí pixelu 2 x 2 m.

Ke zpracování DMT bylo použito DMR 5G - LSS ve verzi k 4.10.2012.

3.1.2 Mapové podklady

Pro potřeby studie byla vybrána Základní mapa České republiky 1:10 000 (ZM 10) aktualizovaná Zeměměřičským úřadem v roce 2011. Jedná se o nejpodrobnější základní mapu středního měřítká.

ZM 10 obsahuje polohopis, výškopis a popis. Předmětem polohopisu jsou sídla a jednotlivé objekty, komunikace, vodstvo, hranice správních jednotek a katastrálních území (včetně územně technických jednotek), hranice chráněných území, body polohového a výškového bodového pole, porost a povrch půdy. Předmětem výškopisu je terénní reliéf zobrazený vrstevnicemi a terénními stupni. Popis mapy sestává z druhového označení objektů, standardizovaného geografického názvosloví, kót vrstevnic, výškových kót, rámových a mimorámových údajů. Obsahem mapových listů je i rovinná pravoúhlá souřadnicová síť a zeměpisná síť. Předměty obsahu mapy jsou znázorněny pouze na území České republiky. Míra generalizace polohopisu je na takové úrovni, že nedochází k rozsáhlejšímu spojování jednotlivých staveb do bloků a ke zjednodušování tvarů. Mapa tak poskytuje velmi podrobnou představu o zobrazovaném území.

Data ZM 10 se stavem aktualizace v roce 2009 a dříve byly odvozovány z vektorových výstupů, které vznikaly v průběhu tvorby vizualizací ZABAGED®. Jejich rasterizací a následnou transformací do souřadnicového systému S-JTSK vznikl obraz státního území, který byl strukturovaný po listech ZM 10. Dalším zpracováním byla pořízena barevná bežešvá rastrová mapa s barevnou hloubkou 4 bit, jednotnou barevnou paletou a hustotou 400 dpi. Z důvodu nižší kvality rozlišení těchto výstupů bylo v roce 2011 přistoupeno k nahrazení těchto souborů novými rastry, které vznikly přímým odvozením z tiskových podkladů ZM 10. Tyto rastry mají barevnou hloubku 24 bit a rozlišení 800 dpi. Data ZM 10 se stavem aktualizace v roce 2010 a později jsou odvozovány přímo z postscriptových souborů nové technologické linky. Tyto soubory jsou službou aplikačního serveru rastrovány s rozlišením 800 dpi, barevnou hloubkou 8 bit a jednotnou barevnou paletou. Do doby pokrytí celého území ČR soubory z nové technologické linky budou uživatelům poskytovány vždy obě datové sady. Tvorbu a aktualizaci ZM 10 zajišťuje Zeměměřický úřad.

ZM 10 je distribuována ve formátu TIF po segmentech bežešvé mapy – čtvercích 2 x 2 km, se stranami rovnoběžnými se souřadnicovými osami S-JTSK. Kromě grafického umístovacího souboru je dodáván textový umístovací soubor TFW a to pro zobrazení S-JTSK / Krovak EN. Tento soubor obsahuje souřadnici levého horního rohu umístovacího čtverce a velikost pixlu v metrech pro dané rozlišení souboru. Předané soubory TIF mají rozlišení 3149 x 3149 (72DPI).

3.1.3 Geodetické podklady

Jak již bylo zmíněno v kapitole 1.4, nebylo nutné provést nové geodetické zaměření v celém rozsahu zájmového území. Při stavbě modelu bylo tedy použito zaměření z původní studie - Aquageo 1997 a InterGeos 2000. Kromě toho byly v rámci studie nově zaměřeny 3 úseky vodního toku. Měření prováděla společnost Hydrossoft Velešlavín v roce 2011. Jednalo se o tyto úseky:

- Nad soutokem s Bílinou, ř. km 0,000 až PR15 ř. km 0,518, kde bylo zaměření zastaralé a proběhla výstavba nákupního střediska v záplavovém území soutoku Bíliny a Ždírnického potoka.
- PR16 až PR19, ř. km 1,304 až 1,336. V tomto úseku vodního toku byl vybudován nový silniční most s nájezdem napříč inundačním územím. Byl zaměřen profil mostu s nájezdem, profil pod mostem a dva profily nad mostem.
- PR20 až PR26 ř. km 1,728 až 1,999. Tento úsek vodního toku nebyl v původní studii zaměřen vůbec.

Pro přesnější vynesení průběhu záplavových čar byla k dispozici data z leteckého snímkování DMR 4G, která poskytlo Povodí Ohře, státní podnik.

Jiné výškopisné podklady nebyly pro zpracování studie k dispozici.

3.2 Hydrologická data

Název hydrologického profilu: ústí do Bíliny

Datum pořízení: 30.1.2012

Říční kilometr: 0,00 ř. km

Třída přesnosti dle ČSN 75 1400: IV

Velikost plochy povodí k profilu: 128,8 km²

Číslo hydrologického povodí: 1-14-01-0920-0-00 (Bílina)

1-14-01-1010-0-00 (Ždírnický potok)

1-14-01-1020-0-00 (Bílina)

N-leté průtoky: viz tabulka č. 3.1

N-leté průtoky porovnání: viz tabulka č. 3.2

Tab. č. 3.1 *N-leté průtoky (Q_N) v $m^3 \cdot s^{-1}$*

Hydrologický profil	Datum pořízení	Říční kilometr	Q_5	Q_{20}	Q_{100}	Q_{500}	Třída přesnosti
Ústí do Bíliny	30.1.2012	0,00	20,9	36,8	83,7	134	IV

Tab. č. 3.2 *Porovnání N -letých průtoků platných a z původní studie (Q_N) v $m^3 \cdot s^{-1}$*

Vodní tok	N-leté průtoky (Q_N) v $m^3 \cdot s^{-1}$								datum předání
	1,0	2,0	5,0	10,0	20,0	50,0	100,0	500	
Ždírnický potok	10,0	14,2	20,9	26,8	36,8	60,3	83,7	134	30.1.2012
Ždírnický potok	4,2	6,5	12,6	20,0	32,0	53,0	78,0		říjen 1996
%	138,1	118,5	65,9	34,0	15,0	13,8	7,3		

Z výše uvedené tabulky vyplývá (žlutě vyznačeno zvýšení průtoku), že hodnoty průtoků oproti původním hydrologickým datům vzrostly při nízkých průtocích o více než 100%, což dalo podnět k vynášení všech záplavových čar nad aktuálním rastrem spolu s novým zaměřením.

3.2.1. Hydrologické poměry a jejich interpretace ve výpočtovém modelu

Pro zpracování studie byly použity pouze základní hydrologické údaje ČHMÚ.

3.3 Místní šetření

Místní šetření proběhlo 2.2.2011 a byla zpracována podrobná fotodokumentace. Každá fotografie je časově a prostorově lokalizovaná. Součástí fotodokumentace jsou i fotky ze starších studií. Lokalizace starší fotodokumentace nebyla dodatečně prováděna, v některých případech ale byly i starší fotky lokalizované.

Cílem místního šetření bylo:

- posouzení nutnosti doplňujícího geodetického zaměření. V případech rekonstrukcí objektů či vlastního koryta či jakékoliv změně v korytě či inundačním území bylo posuzováno, zadali je, nebo není potřeba provést nové zaměření. Výsledek šetření je popsán v kapitole 3.1.3 Geodetické podklady.
- posouzení drsnostních charakteristik. Cílem průzkumu bylo mimo jiné i posouzení drsnostních charakteristik, zejména v inundaci, kde se odtokové parametry mohly změnit novou výstavbou. Dále bylo potřeba určit drsnostní charakteristiky v území potenciálně zaplaveném povodní Q_{500} .
- posouzení morfologie terénu z pohledu průtoku Q_{500} . Bylo nutné rozhodnout, zdali bude nutné rozšiřovat profily původního modelu, či nikoliv. Ne vždy se celá se inundace podílí na průtoku. Na základě průzkumu byly některé profily v době sestavování modelu, proti původní studii rozšiřovány z výškopisu DMR 4G.
- posouzení objektů z pohledu průtoku Q_{500} . Původní modely nepočítaly s tak velkým průtokem. Bylo tedy nutné posoudit průtokové parametry objektů i při této extrémní povodni. U některých objektů byly na základě pořízené fotodokumentace upraveny průtokové koeficienty či další parametry objektu, například rozsah zasahování mostovky do průtočného profilu.
- posouzení ohrožení zaplavovaného území povodní. Tato část průzkumu měla za úkol pořídit fotodokumentaci ohrožených objektů v inundaci tak, aby později bylo možné rozhodovat, zda a v jakém rozsahu bude nemovitost ohrožena. Jedná se zde ale o doplňkovou informaci pro analýzy v GIS a v žádném případě se nejedná o evidenci a podrobnou dokumentaci jednotlivých objektů zasažených vodou.

Při stavbě modelu pak byla pořízená fotodokumentace významným nástrojem pro rozhodování kde a jak model upravovat.

3.4 Doplnující podklady – technické a provozní informace, zprávy, studie, dokumenty, literatura

V průběhu zpracování nebyly poskytnuty žádné další podklady.

3.5 Normy, zákony, vyhlášky

Postupy zpracování studie byly v souladu s níže uvedenými dokumenty v jejich platném znění:

- [1] ČSN 75 0110 Vodní hospodářství – Terminologie hydrologie a hydroekologie
- [2] ČSN 75 1400 Hydrologické údaje povrchových vod.
- [3] TNV 75 2102 Úpravy potoků.
- [4] TNV 75 2103 Úpravy řek.
- [5] ČSN 75 2410 Malé vodní nádrže.
- [6] TNV 75 2415 Suché nádrže.
- [7] TNV 75 2910 Manipulační řady vodních děl na vodních tocích.
- [8] TNV 75 2931 Povodňové plány.
- [9] Zákon č. 240/2000 Sb. o krizovém řízení a změně některých zákonů (krizový zákon).
- [10] Nařízení vlády č. 462/2000 Sb., k provedení §27 odst. 8 a §28 odst. 5 zákona č. 240/2000 Sb., o krizovém řízení a o změně některých zákonů (krizový zákon).
- [11] Vyhláška MŽP 236/2002 Sb., o způsobu a rozsahu zpracovávání návrhu a stanovování záplavových území.
- [12] Vyhláška č. 178/2012 Sb., kterou se stanoví seznam významných vodních toků a způsob provádění činností souvisejících se správou vodních toků.
- [13] Zákon č. 114/1992 Sb., o ochraně přírody a krajiny.

3.6 Vyhodnocení a příprava podkladů

Poskytnuté podklady plně pokryly zájmové území. Původní profily musely být místy rozšířeny, protože v původní studii nebyl řešen průtok Q_{500} . Pro rozšíření profilů bylo použito podkladu DMR 4G, jehož přesnost je pro potřeby modelu v okrajových částech inundace dostatečná.

4 Popis koncepčního modelu

Základním požadavkem na zpracování záplavových území je provádění výpočtů metodou ustáleného nerovnoměrného proudění. Pro tento typ výpočtů je vhodný program HYDROCHECK verze 5.X, který používáme.

Jedná se o programový prostředek vyvinutý společností Hydrossoft Velešlavín s.r.o. v devadesátých letech ve spolupráci s Podniky Povodí. Řeší ustálené nerovnoměrné proudění v otevřených neprizmatických korytech v režimových oblastech říčních i bystřinných. Základem řešení nerovnoměrného proudění je obecná metoda po úsecích. Významné objekty byly počítány funkcemi programu Hydrocheck jako objekty.

Program Hydrocheck verze 5.X je mimo jiné vhodným nástrojem pro posuzování aktivní zóny, či hodnocení map rizik, neboť umožňuje vyhodnocování svislicových rychlostí v příčném řezu. Díky tomu je možné vyhodnocovat rychlosti v inundaci a vytvářet mapu rychlostí jako plošnou informaci, nikoliv jen bodovou.

4.1 Schematizace řešeného problému

Schéma modelu je poměrně jednoduché. Koryto prochází prakticky v celém zájmovém úseku údolnicí a inundace není široká. Nebylo tedy nutné zpracovávat dílčí úseky vodního toku jako okružovou síť. Vzdálenosti příčných profilů v intravilánu jsou cca 50 m, v extravilánu cca 200 až 250 metrů, v místech, kde to bylo potřeba hustěji.

4.2 Posouzení vlivu nestacionarity proudění

Vliv nestacionarity je ve výpočtech zanedbán. Studie je zpracována metodou stacionárního nerovnoměrného proudění, což je v souladu s požadavky objednatele.

4.3 Způsob zadávání OP a PP

Jelikož se jedná o výpočet ustáleného nerovnoměrného proudění v říčním korytě, zadává se okrajová podmínka v dolním výpočtovém profilu v podobě hladiny a průtoku. V místě významných přítoků, pro které jsou k dispozici hydrologické údaje, se zadává změna průtoku. Jiné okrajové ani počáteční podmínky výpočtu se nezadávají.

5 Popis numerického modelu

5.1 Použité programové vybavení

Vlastní výpočty byly prováděny metodou ustáleného nerovnoměrného proudění v programu HYDROCHECK verze 5.X, který se osvědčil při výpočtech obdobných studií.

Základní výhodou programu HYDROCHECK verze 5.X je možnost rozdělení průtočného profilu na libovolné segmenty pomocí fiktivních svislic na vlastní koryto a přilehlé části inundace, ohraničené svislými rovinami, vedenými například v linii břehové hrany koryta. Jednotlivé části příčného profilu mají různou drsnost a s tím souvisí i různé rychlosti proudění a výsledná poloha hladiny vody v profilu. HYDROCHECK verze 5.X umožňuje zobrazit podrobné rozdělení rychlostí v příčném profilu tak i rozdělení aktivní zóny v příčném profilu.

Pro výpočty konsumpčních křivek významných objektů byl použit nástroj - výpočty objektů, který je nyní přímou součástí programu HYDROCHECK verze 5.X.

Kromě metody nerovnoměrného proudění bývá užíváno i nástrojů rovnoměrného proudění pro stanovení konzumpční křivky dolní okrajové podmínky.

Pro vynášení záplavových čar z vypočtených úrovní hladin do mapového podkladu je využíváno funkcí HYDROCHECKu verze 5.X, který generuje vypočtené průsečíky hladin v profilech do mapy.

5.2 Vstupní data numerického modelu

Základem prací na studii je podrobný terénní průzkum. Na základě terénního průzkumu a kvalitní fotodokumentace jsou určeny drsnostní charakteristiky a později vynášeny záplavové čary a aktivní zóna.

Podkladem pro práci bylo podrobné geodetické zaměření v rozsahu potřebném pro jednorozměrný matematický model, tedy příčné a údolní profily a veškeré objekty. Kromě toho byly pro vynášení záplavové čary a aktivní zóny použity všechny měřené body v rámci TPE.

Základním prvkem zadání je příčný profil - jeho geometrický tvar a rozměry, včetně součinitele drsnosti omočeného profilu.

Průtočný profil je možno rozdělit pomocí fiktivních svislic na vlastní koryto a přilehlé části inundace, ohraničené svislými rovinami, vedenými například v linii břehové hrany koryta. Jednotlivé části příčného profilu mají různou drsnost a s tím souvisí i různé rychlosti proudění a výsledné poloha hladiny vody v profilu.

Na základě fotodokumentace a poznámek získaných při rekognoscaci terénu byly voleny hodnoty Manningova drsnostního součinitele n pro jednotlivé části omočeného profilu.

Kromě vytvoření geometrického modelu říční sítě včetně objektů je pro simulace nerovnoměrného proudění nutné zadat okrajové podmínky. Jedná se především o průtok a označení počátečního (popřípadě koncového) profilu, ve kterém má být průběh proudění řešen. Dále se zadává hladina v počátečním profilu, pokud není zvolen režim jejího automatického výpočtu z konzumpční křivky.

5.2.1 Morfologie vodního toku a záplavového území

ř. km 0,00 až 0,463 profily PR01 až PR12 – nad soutokem s Bílinou

Nad soutokem s Bílinou pod železničním mostem je koryto Ždírnického potoka upravené, lichoběžníkové a jeho kapacita je Q_{20} . Celé území je v záplavovém území Bíliny. Nad soutokem s Bílinou bylo postaveno obchodní centrum, které je nad hladinou Q_{100} ze Ždírnického potoka. Úsek mezi železničními mosty je kapacitní na Q_{10} až Q_{20} . Při povodni větší než Q_{20} již dojde k zaplavení komunikace a jejímu uzavření.

ř. km 0,463 až 1,321 profily PR12 až PR17 – nad železnicí k novému mostu pod Předlicemi

Železniční mosty se silničním mostem mezi nimi jsou kritickým místem na Ždírnickém potoce. Jejich kapacita je sice Q_{20} , ale celkové vzdutí hladiny všemi objekty je při Q_{100} téměř 2m. Mezi profily PR12 až PF53 vzniká při Q_{100}

na levém břehu široká záplava, která je až za silnici 253. Voda, která se přelije přes tuto silnici, odtéká mimo povodí Ždírnického potoka. Kapacita celého úseku je menší než Q_5 a při této povodni již dochází k rozlivům na levém břehu, při Q_{20} ale není zaplavována žádná nemovitost. Na pravém břehu je v záplavě Q_{20} výrobní závod.

ř. km 1,321 až 1,999 profily PR17 až PR26 – obec Předlice

V obci Předlice je koryto v délce cca 200 v uzavřeném profilu, jehož kapacita je Q_5 až Q_{10} . Při povodni větší se část průtoku přelije nad uzavřeným profilem přes komunikaci 253 a do koryta se vrací až nad mostním profilem PR17. Při Q_{20} bude již část zástavby Předlic ohrožena povodní a to na obou březích. Nad profilem PR20 je koryto masivně upraveno jako kapacitní betonový obdélníkový profil a provede Q_{100} .

5.2.2 Drsnosti hlavního koryta a inundačních území

Program Hydrocheck verze 5.X umožňuje zadávání drsností nepřímo pomocí kódů, proto byl změněn způsob práce s drsnostmi. Dříve bylo jen velmi těžké měnit bodové drsnosti v profilech, z tohoto důvodu byly vyplňovány bodové drsnosti pouze mimo koryto a v korytě byla používána globální drsnost, kterou bylo možné v celém úseku trati snadno změnit.

Nyní byly vyplňovány všechny drsnosti v celém příčném profilu a snadná možnost korigovat drsnosti během výpočtu zůstává zachována.

Použité drsnosti jsou uvedeny v tabulkách č. 5.1 a 5.2. Podrobné informace o použitých drsnostech v příčných profilech najdete ve výpisu výpočtové trati.

Tab. č. 5.1 Použité drsnosti dle Manninga v korytě

Popis	n
Beton v dobrém stavu	0,020
Beton starý	0,035
dlažba	0,025 - 0,045
tráva	0,035 - 0,045
keře	0,060 - 0,090

Tab. č. 5.2 Použité drsnosti dle Manninga v inundačním území

Popis	n
silnice chodníky - asfalt, beton	0,020 - 0,025
cesta	0,035 - 0,040
louky, pole	0,035 - 0,045
stromy, keře	0,060 - 0,120
hustý porost	0,120 - 0,160
zahrady s ploty, zástavba	0,160 - 0,200 nebo vypuštěné z výpočtu

5.2.3 Hodnoty okrajových podmínek

Dolní okrajová podmínka byla stanovena v profilu PF69 (soutok Ždírnického potoka s Bílinou). Pro profil DOP jsme získali hladiny v Bílině a jejich odpovídající průtoky, ty jsme přiřadili k výpočtovým průtokům Ždírnického potoka Q_5 , Q_{20} , Q_{100} a Q_{500} , podle zvolené kombinace průtoků v obou vodních tocích. Hodnoty hladin lze odečíst z výsledného výpočtového modelu.

Hodnoty průtoků pro Q_5 , Q_{20} , Q_{100} a Q_{500} , pro profil ústí do Bíliny, jsou v následující tabulce č. 5.3

Tab. č. 5.3 N-leté povodňové průtoky uvažované při hydraulickém řešení

profil DOP/N- leté průtoky Q_N	Úsek vodního toku (km od - do)	Q_5	Q_{20}	Q_{100}	Q_{500}	Poznámka
PF69, profil ústí do Bíliny, ř. km 0,00	0.00-1.951	20,9	36,8	83,7	134	

5.2.4 Hodnoty počátečních podmínek

Jak již bylo řečeno dříve, počáteční podmínky se v případě ustáleného nerovnoměrného proudění nezadávají.

5.2.5 Diskuze k nejistotám a úplnosti vstupních dat

Vstupní data byla pro zpracování studie dostatečná.

5.3 Popis kalibrace modelu

Pro kalibraci modelu nebyly k dispozici žádné povodňové značky, ani jiné údaje.

6 Výstupy z modelu

Hlavním výstupem z matematického modelu je psaný podélný profil, jež je zpracován pro všechny průtokové epizody a jež je hlavním nástrojem pro tvorbu záplavových čar. Psaný podélný profil kromě vypočtené úrovně hladiny obsahuje i informaci o výšce dna (nejhlubší dno), úroveň levého a pravého břehu (břehová hrana) a dále úroveň spodní hrany mostovky mostních objektů. Profil je doplněn o poznámku, upřesňující umístění daného příčného řezu.

Psaný podélný profil je uveden na následující stránce.

Tab. č. 6.1 Výpočet úrovně hladin

Profil	Staničení ř. km	Kóta dna	Levý břeh	Pravý břeh	Hl. Q ₅	Q ₅	Hl. Q ₂₀	Q ₂₀	Hl. Q ₁₀₀	Q ₁₀₀	Hl. Q ₅₀₀	Q ₅₀₀	Kóta mostovky	Popis objektu
	[km]	[m n. m.]	[m n. m.]	[m n. m.]	[m n. m.]	[m ³ /s]	[m n. m.]	[m ³ /s]	[m n. m.]	[m ³ /s]	[m n. m.]	[m ³ /s]	[m n. m.]	
PF69	0,000	138,64	139,55	140,08	140,85	20,9	141,30	36,8	141,75	83,7	142,56	134,0		
PF68	0,036	138,92	140,17	140,12	140,94	20,9	141,39	36,8	141,96	83,7	142,58	134,0		
PF67	0,151	139,52	140,74	140,72	141,69	20,9	142,11	36,8	142,53	83,7	142,78	134,0		
PF66	0,294	140,25	141,54	141,55	142,43	20,9	142,73	36,8	143,11	83,7	143,38	134,0		
PR01	0,308	140,40	141,70	141,65	142,47	20,9	142,73	36,8	143,19	83,7	143,57	134,0		
PR02	0,318	140,86	143,62	143,75	143,04	20,9	143,76	36,8	144,18	83,7	144,41	134,0	142,85	betonový mostek
PR02h	0,320	140,89	142,02	142,07	143,04	20,9	143,76	36,8	144,18	83,7	144,41	134,0		
PR03	0,324	140,94	142,07	142,12	143,04	20,9	143,76	36,8	144,18	83,7	144,41	134,0		
PR04	0,342	140,77	141,68	141,98	143,18	20,9	143,86	36,8	144,35	83,7	144,59	134,0	144,341	ocelová lávka
PR05	0,355	140,90	145,36	143,98	143,24	20,9	143,91	36,8	144,49	83,7	144,77	134,0		
PR06	0,382	141,08	143,48	142,21	143,34	20,9	144,08	36,8	144,98	83,7	145,87	134,0	148,14	železniční most
PR06h	0,384	141,05	144,18	144,95	143,34	20,9	144,08	36,8	144,98	83,7	145,87	134,0		
PR07	0,390	140,95	144,08	144,85	143,35	20,9	144,10	36,8	145,01	83,7	145,89	134,0		
PR08	0,409	141,02	143,60	143,66	143,41	20,9	144,23	36,8	145,03	83,7	145,89	134,0	142,70	silniční most
PR08h	0,411	141,07	143,08	143,23	143,41	20,9	144,23	36,8	145,03	83,7	145,89	134,0		
PR10	0,423	141,39	143,40	143,55	143,41	20,9	144,23	36,8	145,03	83,7	145,89	134,0		
PR11d	0,434	141,45	143,46	143,61	143,42	20,9	144,24	36,8	145,04	83,7	145,90	134,0		
PR11	0,452	141,37	150,63	150,57	143,46	20,9	144,30	36,8	145,42	83,7	146,40	134,0	148,3	železniční most
PR11h	0,455	141,40	143,85	143,94	143,46	20,9	144,30	36,8	145,42	83,7	146,40	134,0		
PR12	0,463	141,47	143,92	144,01	143,47	20,9	144,30	36,8	145,42	83,7	146,40	134,0		
PR13	0,495	141,58	144,37	144,05	143,54	20,9	144,38	36,8	145,45	83,7	146,43	134,0		
PR14	0,512	141,80	144,93	144,86	143,60	20,9	144,60	36,8	145,53	83,7	146,46	134,0	143,86	silniční most
PR14h	0,514	141,78	143,40	144,00	143,60	20,9	144,60	36,8	145,53	83,7	146,46	134,0		
PR15	0,518	141,75	143,37	143,97	143,61	20,9	144,60	36,8	145,53	83,7	146,47	134,0		
VLOZ2	0,530	141,98	143,45	143,44	143,68	20,9	144,64	36,8	145,57	83,7	146,51	134,0		
PF57_D	0,589	142,22	143,69	143,68	143,81	20,9	144,65	36,8	145,58	83,7	146,51	134,0		
PF57_L	0,592	142,22	144,08	144,10	143,81	20,9	144,65	36,8	145,58	83,7	146,51	134,0		
PF56	0,707	142,67	144,13	143,65	144,38	20,9	144,65	36,8	145,59	83,7	146,52	134,0		
PF55	0,820	142,99	144,66	144,74	144,83	20,9	145,11	36,8	145,72	83,7	146,57	134,0		
PF54	0,844	143,43	144,58	144,70	144,96	20,9	145,18	36,8	145,75	83,7	146,57	134,0		

ZPRACOVÁNÍ MAP POVODŇOVÉHO NEBEZPEČÍ A POVODŇOVÝCH RIZIK PRO OBLAST POVODÍ OHŘE A DOLNÍHO LABE
B. TECHNICKÁ ZPRÁVA – HYDRODYNAMICKÉ MODELY A MAPY POVODŇOVÉHO NEBEZPEČÍ

Profil	Staničení ř. km	Kóta dna	Levý břeh	Pravý břeh	Hl. Q ₅	Q ₅	Hl. Q ₂₀	Q ₂₀	Hl. Q ₁₀₀	Q ₁₀₀	Hl. Q ₅₀₀	Q ₅₀₀	Kóta mostovky	Popis objektu
	[km]	[m n. m.]	[m n. m.]	[m n. m.]	[m n. m.]	[m ³ /s]	[m n. m.]	[m ³ /s]	[m n. m.]	[m ³ /s]	[m n. m.]	[m ³ /s]	[m n. m.]	
PF53	0,887	143,69	144,73	144,97	145,14	20,9	145,33	36,8	145,80	83,7	146,59	134,0		
VLOZ3	0,946	143,97	145,14	145,25	145,52	20,9	145,69	36,8	145,95	83,7	146,61	134,0		
PF52_D	1,005	144,25	145,94	145,53	145,92	20,9	146,12	36,8	146,39	83,7	146,70	134,0		
PF52_M	1,009	144,25	145,94	145,77	146,22	20,9	146,34	36,8	146,54	83,7	146,79	134,0		
PF51	1,024	144,36	146,07	145,93	146,24	20,9	146,37	36,8	146,60	83,7	146,84	134,0		
VLOZ4	1,049	144,62	145,75	145,74	146,24	20,9	146,37	36,8	146,65	83,7	146,91	134,0		
PF50	1,073	144,87	146,00	146,00	146,24	20,9	146,48	36,8	146,79	83,7	147,01	134,0		
PF49	1,142	145,17	146,75	146,66	146,76	20,9	147,05	36,8	147,40	83,7	147,64	134,0		
PF48	1,210	145,56	147,24	147,43	147,24	20,9	147,68	36,8	147,96	83,7	148,21	134,0		
PF47	1,299	146,21	148,07	147,79	147,94	20,9	148,26	36,8	148,58	83,7	148,79	134,0		
PR16	1,304	146,33	147,96	147,78	147,98	20,9	148,29	36,8	148,62	83,7	148,84	134,0		
PR17	1,321	146,33	150,20	150,19	148,11	20,9	148,46	36,8	148,82	83,7	149,21	134,0	149,22	silniční most
PR17h	1,323	146,35	148,07	147,99	148,11	20,9	148,46	36,8	148,82	83,7	149,21	134,0		
PR18	1,329	146,39	148,11	148,03	148,12	20,9	148,46	36,8	148,83	83,7	149,22	134,0		
PR19	1,336	146,32	149,84	148,02	148,17	20,9	148,50	36,8	148,88	83,7	149,26	134,0		
PF46	1,361	146,72	148,12	147,60	148,38	20,9	148,66	36,8	149,06	83,7	149,41	134,0		
PF45_MS	1,369	146,76	149,51	150,18	148,49	20,9	148,77	36,8	149,20	83,7	149,52	134,0		
PF43_MS	1,568	147,40	149,74	149,77	149,44	20,9	149,87	36,8	150,37	83,7	150,73	134,0		
PF42_L	1,638	147,39	149,44	149,42	149,65	20,9	150,14	36,8	150,51	83,7	150,83	134,0	149,14	lávka
PF41	1,684	147,69	148,99	149,70	149,78	20,9	150,14	36,8	150,51	83,7	150,83	134,0		
PR20	1,728	147,77	149,74	149,64	149,83	20,9	150,22	36,8	150,61	83,7	150,85	134,0		
PR21	1,801	148,49	151,01	151,00	149,99	20,9	150,40	36,8	150,97	83,7	151,36	134,0		
PR22	1,877	149,02	151,36	151,37	150,15	20,9	150,60	36,8	151,34	83,7	151,88	134,0		
PR23	1,951	149,24	151,90	151,94	150,36	20,9	150,79	36,8	151,53	83,7	152,26	134,0	151,71	lávka

6.1 Záplavové čáry pro průtoky Q_5 , Q_{20} , Q_{100} a Q_{500}

Z vypočítaných úrovní hladiny v jednotlivých profilech byl interpretován průběh záplavové čáry. Z tohoto znázornění a z průběhu hladin v podélném profilu je patrný rozsah zatápných ploch a objektů. Dále se tímto způsobem zjistí překážky průtoku, které působí patrné vzduť hladiny, jejichž odstraněním nebo rekonstrukcí je možno rozsah zátop redukovat.

Záplavové čáry byly vyneseny na podkladě rastrové Základní mapy ČR v měřítku 1 : 10 000. Zakreslení záplavových čar, zejména mimo zaměřené příčné profily, zahrnuje nepřesnosti použité mapy. Snahou vyloučit nepřesnosti je užití bodového pole z DMT mimo zaměřené příčné profily. Při posouzení konkrétního místa je tedy rozhodující kóta hladiny odvozená z podélného profilu a skutečná nadmořská výška terénu posuzovaného místa.

Při aplikaci výsledků výpočtu je nutno si uvědomit, že přírodní třírozměrný v čase proměnný děj je popisován stacionárním jednorozměrným matematickým výpočtem s použitím mnoha zjednodušujících předpokladů a odhadů. Přesnost výpočtu je limitována zejména hustotou příčných profilů použitých k výpočtu a odhadem drsnostního součinitele.

Hodnoty úrovně hladin získané interpolací mezi jednotlivými výpočtovými příčnými profilem nemusí odpovídat skutečnosti.

Nejsou zde postiženy jevy běžně se vyskytující při povodních - hladina v inundaci nemusí být v jednom příčném profilu stejná jako v korytě, v obloucích dochází k příčnému převýšení hladiny, hladina je rozvlákná, atd.

Výpočet je proveden pro ideální stav koryta. Není započítáno ucpání průtočného profilu plaveným materiálem, které hrozí zejména v mostních profilech. Vliv na proudění má i sezónní stav vegetačního pokryvu.

Výsledky tohoto výpočtu nejsou neměnné. Může dojít ke změnám vlivem zpřesnění topografických podkladů, změny hydrologických údajů, použitím přesnějších výpočetních modelů, nebo vlivem změn v průtočném profilu vodního toku.

Analýzou průniku maximálního rozlivu (při průtoku Q_{500}) a správních území byly zajištěny informace o dotčených správních území obcí uvedené v následující tabulce.

Tab. č. 6.2 Dotčené správní území obcí maximálním rozlivem

Kód ORP	Název ORP	Kód ICOB	Název obce
4214	Ústí nad Labem	553697	Trmice
4214	Ústí nad Labem	554804	Ústí nad Labem

6.2 Hloubky pro průtoky Q_5 , Q_{20} , Q_{100} a Q_{500}

Určení hloubek pro jednotlivé povodňové scénáře je provedeno v prostředí ArcGIS, jako rozdíl digitálního modelu hladiny a digitálního modelu terénu. Digitální model hladiny byl vytvořen lineární interpolací hladin mezi jednotlivými příčnými profilem, které byly převzaty z hydraulického modelu. Výsledkem je rastr hloubek o velikosti pixelu 2 x 2 m. Mapa hloubek se následně ořízne záplavovou čarou pro daný scénář.

6.3 Rychlosti pro průtoky Q_5 , Q_{20} , Q_{100} a Q_{500}

Pro hodnocení rizik vznikly ve studii dva samostatné výstupy vypočtených rychlostí a to vrstva bodová a plošná. Bodová vrstva slouží pro zobrazení v mapě rychlostí jako informace o průměrné celoprofilové rychlosti. Tato informace je však pro hodnocení rizik bezcenná, proto vznikla vrstva plošného rozdělení rychlostí. Ta pak bude použita pro další hodnocení.

6.3.1 Bodová vrstva průměrných celoprofilových rychlostí

Při výpočtu nerovnoměrného proudění byly z výpočetního programu Hydrocheck exportovány pro jednotlivé profily a jednotlivé průtokové epizody průměrné celoprofilové rychlosti. Takto získaná hodnota rychlosti pak byla v GIS přiřazena jako bodová informace průsečíku daného příčného řezu a osy vodního toku. Pro každý profil a

jednu průtokovou epizodu tak byla získána informace o rychlosti, celkem tedy pro každý profil 4 hodnoty rychlosti ($Q_5 - Q_{500}$).

6.3.2 Plošné rozdělení rychlostí v inundaci

Program Hydrocheck pracuje se svislicovými rychlostmi a dokáže do mapy zobrazit rozdělení rychlostí v příčném řezu. Pokud umístění a hustota příčných řezů dostatečně popisuje záplavové území, lze poměrně přesně určit i plošné rozdělení rychlostí v inundaci zvláště, když je při posuzování k dispozici mapa hloubek. Plošné rozdělení rychlostí vychází z těchto předpokladů:

- nezajímá nás rychlost v korytě, ale pouze v inundaci
- pro hodnocení rizik nás nezajímá rychlost menší než 1 m/s
- rychlost je rozdělena po 0,5 m/s na kategorie 1,0 až 1,5 - 1,5 až 2,0 atd.

Na základě těchto předpokladů byly nad mapou vykresleny polygony rychlostí větších než 1 m/s. Tato plošná vrstva je podkladem pro další hodnocení rizik.

6.4 Zhodnocení nejistot ve výsledcích výpočtů

Jak bylo uvedeno výše, výpočetní model 1D je vždy schematizací skutečnosti. Hlavní míra nejistoty však neplyne ze špatného odhadu drsnostních charakteristik, nebo nedostatečně popsané topologie území a koryta, ale ze vstupních průtokových dat, jejichž přesnost je nezřídka v rozmezí $\pm 40 - 60\%$ dle uvedené třídy přesnosti. Dalším již zmíněným faktorem, s nímž model nepočítá, je množství plavenin, které postupují vodním tokem při povodni, ať už se jedná například o ledové kry nebo antropogenní materiál či dřevní hmotu. Tyto plaveniny, pak zejména v prostoru objektů mohou způsobit naprosto převratné změny průtočného profilu (částečné nebo úplné ucpání), které pak mají na průběh hladiny zásadní vliv.

Pokud však odhlédneme od nejistot způsobených nepřesnými hydrologickými daty a budeme vztahovat rozsah záplavového území ke konkrétnímu průtoku (a nikoliv k deklarované četnosti povodně) a budeme postupovat v souladu s Metodikou stanovení ZÚ, tedy výpočet bez plavenin, můžeme konstatovat, že vypovídací schopnost modelu je značně vysoká. Největší ovlivnění hladin nastává v místech objektů, jejichž nesprávné posouzení, či špatně provedený výpočet ve vztahu k zatopení dolní vodou, má na úroveň hladiny zásadní vliv. Poměrně významné je i ovlivnění výpočtu chybně umístěnými dílčími profily v příčném řezu, naopak chybný odhad drsnosti byt' v řádu desítek procent se ve volné trati dramaticky neprojeví.